

بررسی ناپایداری مفصل کشکی - رانی با استفاده از یک مدل ریاضی دو بعدی

فرزام فرهمند

استادیار دانشکده مهندسی مکانیک - دانشگاه صنعتی شریف
علیرضا آرایی

مربی گروه مهندسی مکانیک - دانشکده فنی - دانشگاه تهران
(تاریخ دریافت ۷۹/۶/۲۶، تاریخ تصویب ۸۰/۸/۵)

چکیده

ناپایداری مفصل کشکی رانی در صفحه عرضی با استفاده از یک مدل ریاضی دو بعدی با سطوح تماسی انعطاف پذیر مورد بررسی قرار گرفت. سطوح مفصلی بصورت چند جمله‌ای، عضلات بصورت رشته‌های با نیروی معلوم، رتیناکولوم و تاندون کشک بصورت فنرهای کششی، و غضروف مفصلی بصورت مجموعه‌ای از فنرهای فشاری مدل شدند. دستگاه معادلات غیر خطی حاصل، شامل سه معادله تعادل و یک معادله قید به ازای هر فنر غضروف، با استفاده از روش نیوتون رافسون حل گردید. نتایج نشان می‌دهند که در رفتگی کامل کشک تنها در صورت ناهنجاری توام بافت‌های نرم و سخت روی می‌دهد و جابجایی خارجی محل اتصال عضلات داخلی به کشک مؤثرترین درمان برای بیماریهای ناپایداری مفصل محسوب می‌شود.

واژه‌های کلیدی : مفصل کشکی رانی، ناپایداری، مدل‌سازی، سطوح تماسی انعطاف پذیر

مقدمه

داخل^۱ و انتقال ناحیه اتصال عضلات پهنه داخلی به کشک به سمت خارج^۲ اشاره نمود. اما در مورد مؤثر بودن این گونه روش‌های جراحی اختلاف نظر وجود دارد [۲]. مهمترین دلیل این امر را می‌توان مشخص نبودن میزان مشارکت هر یک از عوامل یاد شده بر پایداری مفصل کشکی رانی و لذا میزان تأثیر روش‌های جراحی مبتنی بر تصحیح آنها دانست.

هر چند مدل‌های ریاضی متعددی از مفصل کشکی - رانی ارائه شده اند [۳-۸]، اغلب آنها برای بررسی رفتار مفصل در صفحه ساجیتال^۹ طراحی شده اند و قادر قابلیت‌های لازم برای بررسی ناپایداری مفصل در صفحه عرضی^{۱۰} و روش‌های درمانی مربوطه می‌باشند. مهمترین مدل ریاضی در این زمینه مدل آقای هیروکاوا^{۱۱} است که این مدل نیر

دردهای قدامی زانو عمدتاً از ناپایداری مفصل کشکی - رانی به صورت نابجایی کشک^۱، درفتگی کشک^۲، و سندروم فشاری در قسمتهای خارجی کشک^۳، ناشی می‌شوند و گزارشات متعددی در مورد فراوانی این بیماریها منتشر شده است [۱]. مهمترین عواملی که در ناپایداری مفصل کشکی رانی مؤثرند عبارتند از: ناهنجاری در فعالیت عضلات چهار سررانی^۴ و رتیناکولوم^۵، هندسه سطوح تماسی کشک و شیار استخوان ران، و سرانجام انحراف تاندون کشک در اثر چرخش استخوان ساق. روش‌های جراحی متنوعی برای درمان ناپایداری کشک ارائه شده اند که از جمله مهمترین آنها می‌توان به رهایش بافت‌ها در قسمت خارجی مفصل^۶، انتقال برجستگی خشن درشت نی به سمت

همین خط و جهت مثبت آن به سمت داخل است و محور γ عمود بر راستای α و جهت مثبت آن به سمت قدامی کشک می باشد. پروفیلهای ران و کشک در تصویر MRI دیجیتایز شده و معادلات آنها با استفاده از برنامه های برآذش منحنی در نرم افزار MATLAB به صورت چند جمله ای های ریاضی استخراج گردیدند:

$$y(x) = \sum_{n=0}^4 a_n x^n \quad (1)$$

$$v(u) = \sum_{n=0}^4 b_n u^n \quad (2)$$

ضرایب این چند جمله ای ها برای پروفیل ران در دستگاه مختصات ثابت متصل به ران و برای پروفیل کشک در دستگاه مختصات متحرک متصل به کشک در جدول (۱) مشاهده می شوند.



شکل ۱: تصویر MRI مقطع اصلی تماس کشک و ران در صفحه عرضی.

نیروی عضلات چهار سر رانی در راه رفتن طبیعی در زاویه خمس ۳۰ درجه زانو تقریباً برابر وزن بدن (۸۰۰ نیوتن) است که مؤلفه آن در صفحه عرضی معادل ۱۲۰ نیوتن برآورد می شود [۹]. این نیرو براساس نسبت سطح مقطع فیزیولوژیک هر یک از عضلات چهار سر [۱۰]، مابین آنها توزیع گردید (جدول ۲).

به دلیل استفاده از سطوح مفصلی صلب، نهایتاً به نتیجه غیر واقعی تماس کشک و ران در کنديلهای ران در زاویه خمس ۳۰ درجه زانو منجر شده است [۶]. مطالعات آزمایشگاهی بوضوح نشان داده اند که در زوایای اولیه خمس زانو، کشک با شیار ران در تماس است و تماس با کنديلهای ران در زوایای خمس بزرگتر از ۹۰ درجه اتفاق می افتد [۹].

این مطالعه بمنظور بررسی پایداری مفصل کشکی - رانی در صفحه عرضی با استفاده از یک مدل ریاضی دو بعدی با سطوح مفصلی انعطاف پذیر طراحی شده است. مدل قادر است میزان مشارکت عوامل مؤثر بر ناپایداری کشک و نیز تأثیر روش‌های جراحی را بر درمان ناپایداری با محاسبه جابجایی کشک در راستای داخلی - خارجی ^{۱۲} و چرخش کشک در صفحه عرضی ^{۱۳} مورد ارزیابی قرار دهد.

داده ها

به منظور استخراج پروفیلهای سطوح مفصلی ران و کشک از پای یک فرد سالمند ۲۵ ساله تصویر برداری MRI بعمل آمد. با قرار دادن پا بر روی یک نگهدارنده چوبی، زانو در وضعیت خمس ۳۰ درجه قرار گرفت و تصاویر متعددی بصورت برش‌های عرضی با فواصل ۱ میلی متر از مفصل کشکی - رانی تهیه گردید. تدوین تصاویر با استفاده از پروتکل اکوگرادیان صورت پذیرفت که در آن بافت‌های نرم مانند غضروف از وضوح بیشتری برخوردار هستند. از میان تصاویر، مقاطع تماس کشک و ران شناسایی شده و مقطع میانی آنها به عنوان مقطع اصلی تماس کشک و ران در صفحه عرضی انتخاب گردید (شکل ۱).

دستگاههای مختصات ثابت y, z و متحرک α, β بصورت نشان داده شده در شکل (۱) تعریف شده اند. مرکز دستگاه ثابت در عمیق ترین نقطه شیار ران قرار گرفته است. محور α در راستای خارجی - داخلی و جهت مثبت آن به سمت داخل است و محور β نیز در راستای قدامی - خلفی و جهت مثبت آن به سمت قدامی است. مرکز دستگاه متحرک، نقطه میانی خط اتصال دو لبه داخلی و خارجی کشک می باشد. امتداد محور α در راستای

جدول ۴: خواص مکانیکی غضروف و تاندون کشک.

نسبت پواسون	مدول یانگ (MPa)	بافت
۰/۴۷	۲۰	غضروف
-	۱۰۰	تاندون کشک

جدول ۱: ضرائب چند جمله ایهای پروفیلهای ران و کشک

n=4	n=3	n=2	n=1	n=0	
-۰/۰۰۰۱	۰/۰۰۰۵	۰/۰۴۱۱	۰/۱۳۹۷	۰/۲۸۹۹	a _n : ران:
-۰/۰۰۰۲	۰/۰۰۲	۰/۰۴۶۳	۰/۴۵۷۸	-۹/۳۸۴۶	b _n : کشک:

روش

برای هر نقطه بر روی کشک، رابطه بین بردارهای موقعیت در دستگاههای ثابت و متحرک به صورت زیر بیان می شود:

$$\bar{C} = \bar{a} + T\bar{\rho} \quad (3)$$

که $\bar{\rho}$ بردار موقعیت نقطه در دستگاه متحرک، \bar{C} بردار موقعیت نقطه در دستگاه ثابت، \bar{a} بردار موقعیت مبدأ دستگاه مختصات متحرک نسبت به دستگاه مختصات ثابت، و T ماتریس دوران می باشد. با فرض اینکه \bar{e}_x , \bar{e}_u , \bar{e}_v و \bar{e}_y به ترتیب بردارهای یکه امتدادهای x , y و v , u و θ زاویه دستگاه متحرک نسبت به ثابت باشند:

$$\bar{a} = a_x \bar{e}_x + a_y \bar{e}_y \quad (4)$$

$$\bar{\rho} = u \bar{e}_u + v \bar{e}_v \quad (5)$$

$$T = \begin{bmatrix} \cos\theta & \sin\theta \\ -\sin\theta & \cos\theta \end{bmatrix} \quad (6)$$

روابط فوق را میتوان بصورت زیر نوشت:
 $u = \cos\theta \cdot (x - a_x) - \sin\theta \cdot (y - a_y) \quad (7\text{-الف})$

$$v = \sin\theta \cdot (x - a_x) + \cos\theta \cdot (y - a_y) \quad (7\text{-ب})$$

که در نتیجه، با جایگذاری معادله پروفیل کشک در دستگاه مختصات متحرک در معادله (۸)، معادله پروفیل کشک در دستگاه مختصات ثابت بصورت زیر بدست می آید:

$$\sin\theta \cdot (x - a_x) + \cos\theta \cdot (y - a_y) = \sum_{n=0}^4 b_n [\cos\theta \cdot (x - a_x) - \sin\theta \cdot (y - a_y)]^n \quad (8)$$

جدول ۲: نیروی هر یک از عضلات چهار سر رانی.

Rectus Femoris (RF)	Vastus Intermedius (VI)	Vastus Medialis Obliquus (VMO)	Vastus Medialis Longus (VML)	Vastus Lateralis Obliquus (VLO)	Vastus Lateralis Longus (VLL)	عضله
۱۵	۲۰	۱۰	۱۵	۱۰	۳۰	نیرو (N)

جدول ۳: نقاط اتصال بافت‌های نرم.

بافت نرم	محل اتصال به کشک		محل اتصال به ران	
	x(mm)	y(mm)	u(mm)	v(mm)
VLL	-۱۶/۵	-۱/۵	-۱۰/۵	۳
VLO	-۲۷	-۳	-۱۷	۴/۵
VML	۱۵	-۷/۵	۱۷	۳
VMO	۲۲/۵	-۷/۵	۲۱	۱/۵
VI	-۷/۵	-۱۵	۸	۵
RF	-۷/۵	-۱۵	۸	۳
Lateral Retinaculum	-۲۷	۴/۵	-۲۲/۵	.
Medial Retinaculum	۲۴	-۷/۵	۲۴	.
Patellar Tendon	۴/۵	-۷/۵	۲	.

نقاط اتصال عضلات و تاندون کشک به ران (در دستگاه ثابت) و کشک (در دستگاه متحرک) با توجه به داده های گزارش شده توسط مراجع [۱۰] و [۱۱] تعیین شدند (جدول ۳). نقاط اتصال رتیناکولوم داخلی و خارجی به کشک و ران نیز با رسم مماس مشترک منحنيهای ران و کشک در قسمتهای داخلی و خارجی بدست آمدند.

خواص مکانیکی بافتها شامل مدول یانگ و ضریب پواسون برای غضروف و تاندون کشک از داده های گزارش شده توسط مرجع [۸] اقتباس گردیدند (جدول ۴). ضریب فنری رتیناکولوم داخلی و خارجی نیز براساس تحقیق انجام شده توسط مرجع [۱۲] برابر ۷/۵ نیوتون بر میلی متر انتخاب گردید.

تансورهای تنش (σ_{ij}) و کرنش (ϵ_{ij}) به صورت زیر بیان می‌شود:

$$\sigma_{ij} = \frac{E}{1+v} \cdot (\epsilon_{ij} + \frac{v}{1-2v} \cdot \delta_{ij} \epsilon_{kk}) \quad (16)$$

که با در نظر گرفتن $\epsilon_{33} = 0$ نتیجه می‌شود:

$$\sigma_{11} = \sigma_n = \frac{F_n}{A} = \frac{E}{1+v} \cdot \frac{1-v}{1-2v} \cdot \epsilon_{11} \quad (17)$$

لذا با توجه به:

$$\epsilon_{11} = \epsilon_n = \frac{\delta_n}{h} \quad (18)$$

سختی فنرهای فشاری متناظر با غضروف از رابطه زیر بدست می‌آید:

$$K_c = \frac{E_c \cdot A_c}{h_c} \cdot \frac{1-v_c}{(1+v_c) \cdot (1-2v_c)} \quad (19)$$

که E_c مدول یانگ، v_c ضریب پواسون، h_c ضخامت غضروف و A_c سطح مقطع در نظر گرفته شده برای هر فنر فشاری متناظر با غضروف می‌باشد.

بردار یکه امتداد فنرهای فشاری غضروف، در راستای عمود

بر سطح مفصلی ران قرار دارد و برابر است با:

$$\vec{n}_c = \frac{-dy(x)/dx}{\sqrt{1+(dy(x)/dx)^2}} \vec{e}_x + \frac{1}{\sqrt{1+(dy(x)/dx)^2}} \vec{e}_y \\ = n_{cx} \vec{e}_x + n_{cy} \vec{e}_y \quad (20)$$

که $y(x)$ معادله پروفیل ران در دستگاه مختصات ثابت است. همچنین اگر (x_{c1}, y_{c1}) مختصات نقطه اتصال فنر به کشك و (x_{c2}, y_{c2}) مختصات نقطه اتصال فنر به ران در دستگاه ثابت باشند:

$$l_c = \sqrt{(x_{c1} - x_{c2})^2 + (y_{c1} - y_{c2})^2} \quad (21)$$

معادله خطی که از نقطه (x_{c2}, y_{c2}) گذشته و در این نقطه عمود بر پروفیل ران است، عبارتست از:

$$\frac{x - x_{c2}}{n_x} = \frac{y - y_{c2}}{n_y} \quad (22)$$

نیروی فنر ۱ بعنوان یک فنر کششی در مدل برابر است با:

$$\vec{F}_t = F_t \cdot \vec{n}_t \quad (9)$$

$$F_t = K_t (l_t - l_{0t}) \quad \text{if } l_t < l_{0t} \quad (10-\text{الف})$$

$$F_t = 0 \quad \text{if } l_t \leq l_{0t} \quad (10-\text{ب})$$

$$\vec{n}_t = \frac{\vec{r}_t - \vec{a} - T \vec{p}_t}{l_t} \quad (11)$$

$$l_t = |\vec{r}_t - \vec{a} - T \vec{p}_t| \quad (12)$$

که K_t سختی فنر، l_t و l_{0t} بترتیب طول جاری و اولیه فنر، \vec{n}_t بردار یکه امتداد فنر، \vec{r}_t بردار موقعیت نقطه اتصال فنر به ران در دستگاه ثابت و $T \vec{p}_t$ بردار موقعیت نقطه اتصال فنر به کشك در دستگاه متحرک می‌باشد. سختی فنر کششی متناظر با تاندون کشك از رابطه زیر محاسبه گردید:

$$K_t = \frac{E_t \cdot A_t}{l_{0t}} \quad (13)$$

که E_t مدول یانگ، A_t سطح مقطع، و l_{0t} طول اولیه تاندون کشك هستند.

نیروی فنر ۲ بعنوان یک فنر فشاری در مدل برابر است با:

$$\vec{F}_c = F_c \cdot \vec{n}_c \quad (14)$$

$$F_c = K_c (l_c - l_{0c}) \quad \text{if } l_c < l_{0c} \quad (15-\text{الف})$$

$$F_c = 0 \quad \text{if } l_c \geq l_{0c} \quad (15-\text{ب})$$

که K_c سختی فنر، \vec{n}_c بردار یکه امتداد فنر، و l_c و l_{0c} بترتیب طول اولیه و جاری فنر می‌باشند. برای محاسبه سختی فنرهای فشاری متناظر با غضروف، فرض شد که در ناحیه میانی سطح تماس، غضروف تنها در راستای عمود بر سطح کرنش می‌پذیرد و نواحی غضروفی اطراف مانع از تغییر شکل آن در امتداد مماسی می‌گردد. برای یک ماده الاستیک خطی در شرایط سه بعدی رابطه

کششی و فنرهای کششی متحمل نیروی فشاری را از مجموعه حذف نموده و معادلات را مجدداً حل می‌کند تا به حل نهایی که در آن کلیه فنرها متحمل نیروهای متناظر صحیح می‌شوند دست یابد.

عوامل مختلف مؤثر بر نایابداری مفصل کشکی - رانی و تأثیر روش‌های جراحی متداول با استفاده از مدل مور، بررسی و تحلیل قرار گرفتند. برای تحلیل اثر شرایط توزیع نیرو در عضلات چهار سر، در حالیکه نیروی کل عضلات چهار سر ثابت نگاه داشته شده بود، سهم نیروی عضلات چهارسر داخلی بتدريج کاهش یافت و تغييرات ايجاد شده در موقعیت کشک مورد بررسی قرار گرفت. بهمين ترتیب، برای بررسی تأثیر شرایط بافت‌های رتیناکلوم بر پایداری مفصل، سختی فنرهای کششی متناظر با رتیناکلوم داخلی و خارجی تغيير داده شد و حرکات ناشی از آن در کشک مورد بررسی قرار گرفت.

به منظور ارزیابی روش‌های جراحی که برای اصلاح نایابداری مفصل کشکی - رانی مورد استفاده قرار می‌گيرند، نخست نیروی عضلات چهار سر داخلی به میزان ۵۰٪ کاهش داده شد تا کشک به سمت خارج جابجا شده و در موقعیت غیر طبیعی قرار گيرد و آنگاه با شبیه سازی عمل جراحی بر روی مدل، تأثیر آن بر بازگشت کشک به موقعیت طبیعی مورد بررسی قرار گرفت. عمل جراحی انتقال برجستگی خشن درشت نی به سمت داخل با جابجایی تدریجی محل اتصال تاندون کشک به درشت نی به سمت داخل شبیه سازی گردید. عمل جراحی رهایش خارجی نیز با کاهش تدریجی سختی فنر کششی متناظر با رتیناکلوم خارجی شبیه سازی شد. سرانجام، برای شبیه سازی عمل جراحی انتقال خارجی ناحیه اتصال عضلات پهن داخلی به کشک، مختصات نقطه اتصال عضلات مزبور به کشک در مدل بتدريج به سمت خارج انتقال داده شد.

نتایج

با تغيير شرایط توزیع نیرو در عضلات چهار سر، تغييرات قابل توجهی در موقعیت کشک نسبت به شیار ران مشاهده گردید. با ۵۰٪ کاهش در نیروی عضلات

تقاطع اين خط با پروفيل کشک در مختصات ثابت (معادله ۸)، نقطه اتصال فنر به کشک (x_{cl}, y_{cl}) را در هر موقعیت از کشک بدست خواهد داد.

نيروی هر يك از عضلات برابر است با:

$$\vec{F}_m = F_m \cdot \vec{n}_m \quad (23)$$

كه F_m اندازه نیروی عضله و \vec{n}_m برداریکه امتداد اعمال نیروی عضله می باشد. اگر \vec{n}_m بردار موقعیت نقطه اتصال عضله به ران در دستگاه ثابت، و \vec{r}_m بردار موقعیت نقطه اتصال عضله به کشک در دستگاه متحرک باشند:

$$\vec{n}_m = \frac{\vec{r}_m - \vec{a} - T\vec{p}_m}{|\vec{r}_m - \vec{a} - T\vec{p}_m|} \quad (24)$$

معادلات تعادل نیرو و گشتاور برای کشک به صورت زیر بيان می شوند:

$$\sum F_m \cdot \vec{n}_m + \sum F_c \cdot \vec{n}_c + \sum F_t \cdot \vec{n}_t = 0 \quad (25)$$

$$\sum F_m (T\vec{p}_m) \times \vec{n}_m + \sum F_c (T\vec{p}_c) \times \vec{n}_c + \sum F_t (T\vec{p}_t) \times \vec{n}_t = 0 \quad (26)$$

از مجموعه معادلات تعادل و ترکیب معادلات (۸)، (۲۱) و (۲۲) برای هر يك از فنرهای فشاری، يك دستگاه معادلات غیر خطی با $n+3$ مجهول و همین تعداد معادله به دست می آيد که n تعداد فنرهای فشاری است.

مجهولات عبارتند از:

۱- مختصات مبدأ دستگاه متحرک نسبت به دستگاه

ثابت: a_x, a_y

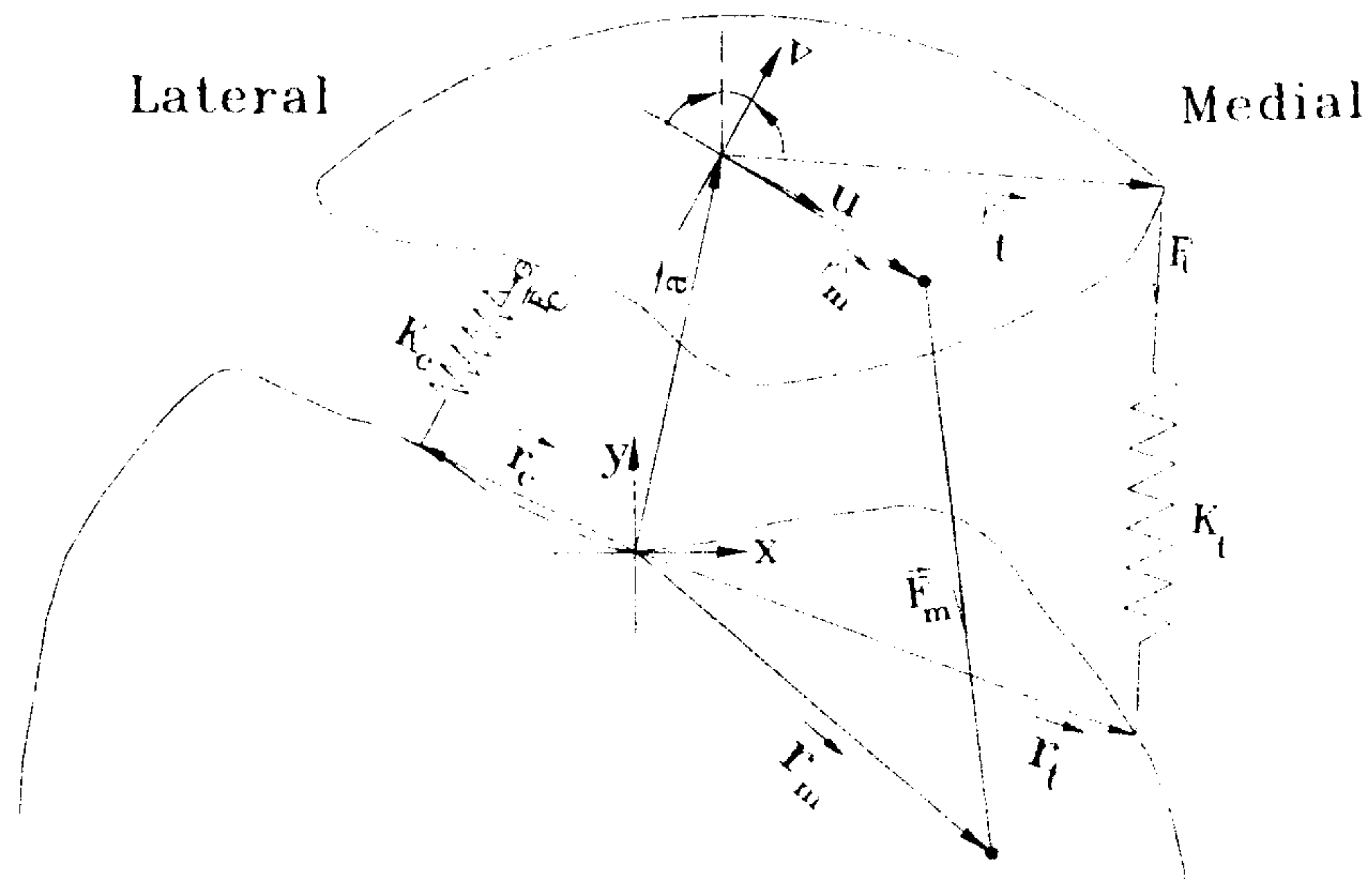
۲- زاویه دستگاه متحرک نسبت به دستگاه ثابت یا زاویه دوران کشک: θ

۳- مختصات نقاط اتصال فنرهای فشاری به کشک به

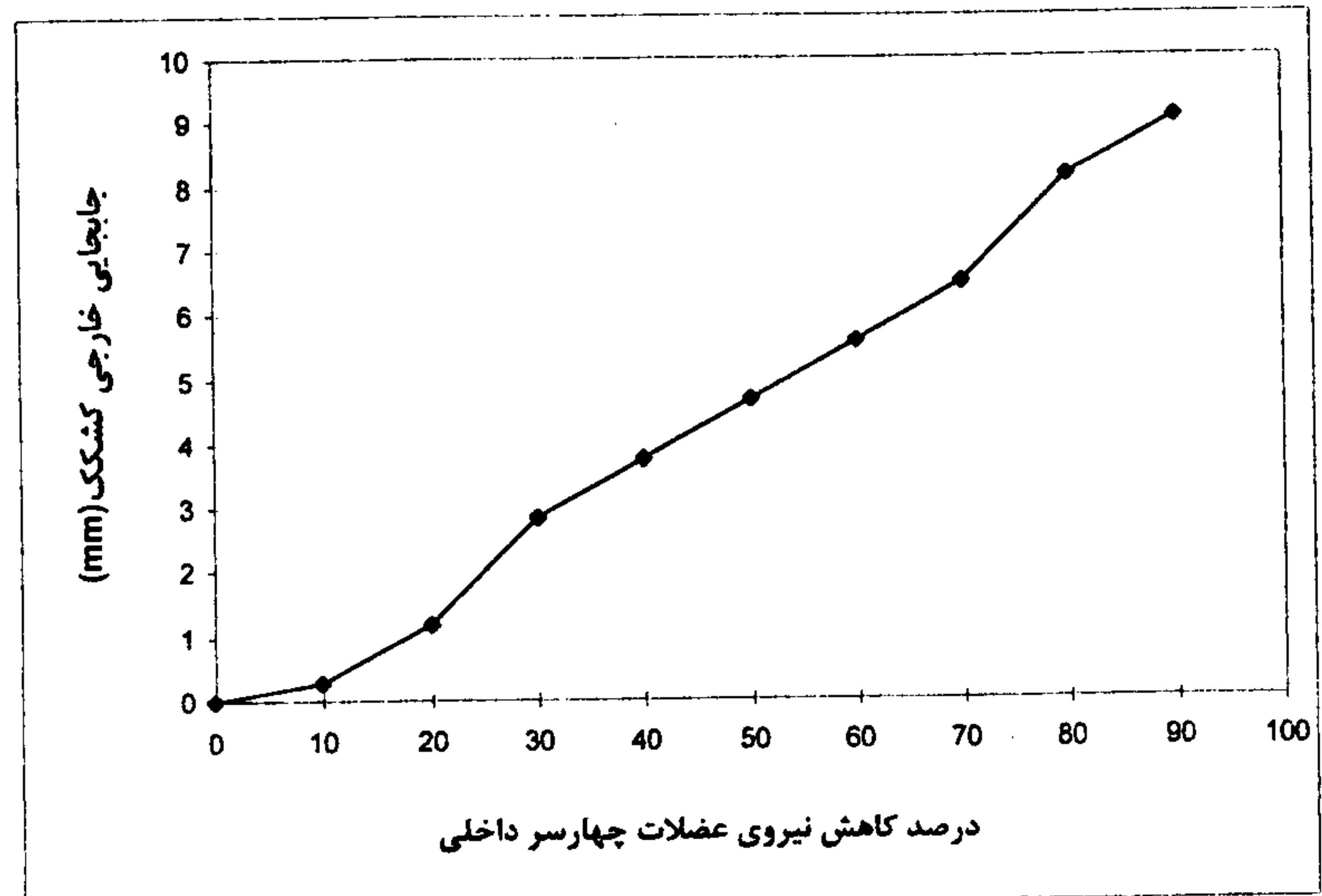
ازاء هر يك از آنها : x_{cl}, y_{cl}

برای حل دستگاه معادلات غیر خطی فوق يك برنامه کامپیوتري به زبان C++ براساس روش تکرار نیوتن- رافسون نوشته شد. برنامه پس از حل مدل و محاسبه نیروی هر يك از فنرها، فنرهای فشاری متحمل نیروی

شود. جایگایی نقطه اتصال عضلات VML و VMO بر روی کشک به میزان ۷ میلی متر به سمت خارج، سبب گردید که کشک بطور کامل به موقعیت اولیه خود بازگردد (شکل ۹).



شکل ۲: مدل دو بعدی مفصل کشکی - رانی. کلیه پارامترها در متن معرفی شده اند.



شکل ۳: اثر کاهش نیروی عضلات پهن داخلی بر جایگایی خارجی کشک.

بحث

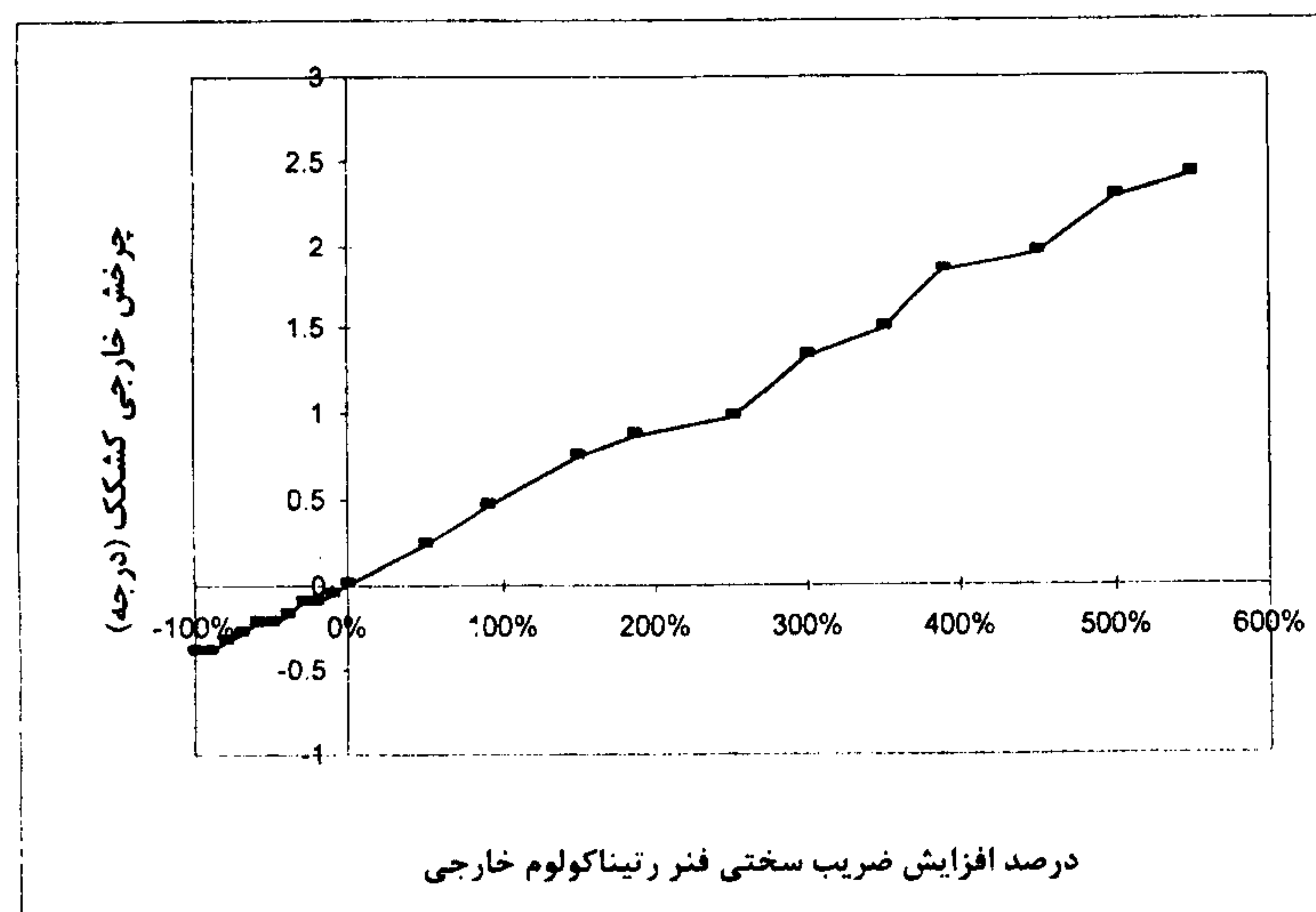
در این مطالعه عوامل مختلف مؤثر بر پایداری مفصل کشکی رانی با استفاده از یک مدل ریاضی مورد بررسی قرار گرفت. مهمترین ویژگی مدل در مقایسه با مطالعات پیشین، بکارگیری سطوح تماسی انعطاف پذیر با شبیه سازی غضروف مفصلی توسط فنرهای فشاری بوده

چهارسر داخلی (در حالیکه نیروی کل عضلات چهارسر ثابت نگاه داشته شده بود)، جایگایی به میزان ۴/۷ میلیمتر به سمت خارج و چرخش بمیزان ۷/۰ درجه به سمت خارج برای کشک مشاهده گردید (شکل‌های ۳ و ۴). کاهش مشارکت عضلات چهارسر داخلی بمیزان ٪۹۰ سبب افزایش جایگایی به سمت خارج به بیش از ۹ میلیمتر شده و کشک را در معرض دررفتگی قرار داد. با افزایش سختی فنر رتیناکولوم خارجی تا ۵ برابر، جایگایی بمیزان ۵ میلیمتر به سمت خارج و چرخش بمیزان ۲/۵ درجه به سمت خارج برای کشک مشاهده گردید (شکل‌های ۵ و ۶). کاهش سختی فنر رتیناکولوم داخلی نیز تأثیرات مشابهی بر موقعیت کشک در شیار ران بر جای گذاشت. با قطع کامل رتیناکولوم داخلی، کشک بمیزان ۵ میلی متر به سمت خارج جایجا گردید. شبیه سازی عمل جراحی انتقال برجستگی خشن درشت نی به سمت داخل بر روی مدل، پس از کاهش نیروی عضلات چهارسر داخلی (VML و VMO) به میزان ٪۵۰ نشان داد که این عمل جراحی تأثیر قابل ملاحظه ای بر اصلاح نابجایی کشک و بازگشت آن به موقعیت طبیعی دارد (شکل ۷). به ازاء ۷ میلیمتر انتقال داخلی نقطه اتصال تاندون کشک به درشت نی، کشک بمیزان ۲/۵ میلی متر به سمت داخل بازگشت.

شبیه سازی عمل جراحی رهایش خارجی نشان داد که برش رتیناکولوم خارجی به تنها در درمان نابجایی کشک مؤثر نمی باشد. حذف کامل فنر کششی متناظر با رتیناکولوم خارجی، کشک را تنها کمتر از یک میلی متر به سمت داخل بازگرداند (شکل ۸). نتایج نشان میدهد که در حالتیکه رهایش خارجی شامل برش بخشی از فیبرهای عضله مایل پهن خارجی (VLO) نیز گردد، این عمل می تواند بر نابجاییهای ملایم کشک مؤثر واقع شود. اما بازگشت کشک به موقعیت طبیعی خود نیازمند برش کامل رتیناکولوم خارجی و ٪۵۰ کاهش در نیروی عضله مزبور است.

نتایج حاصل از مدل نشان می دهد که عمل جراحی انتقال خارجی ناحیه اتصال عضلات پهن داخلی به کشک مؤثرترین روش برای درمان نابجایی کشک محسوب می

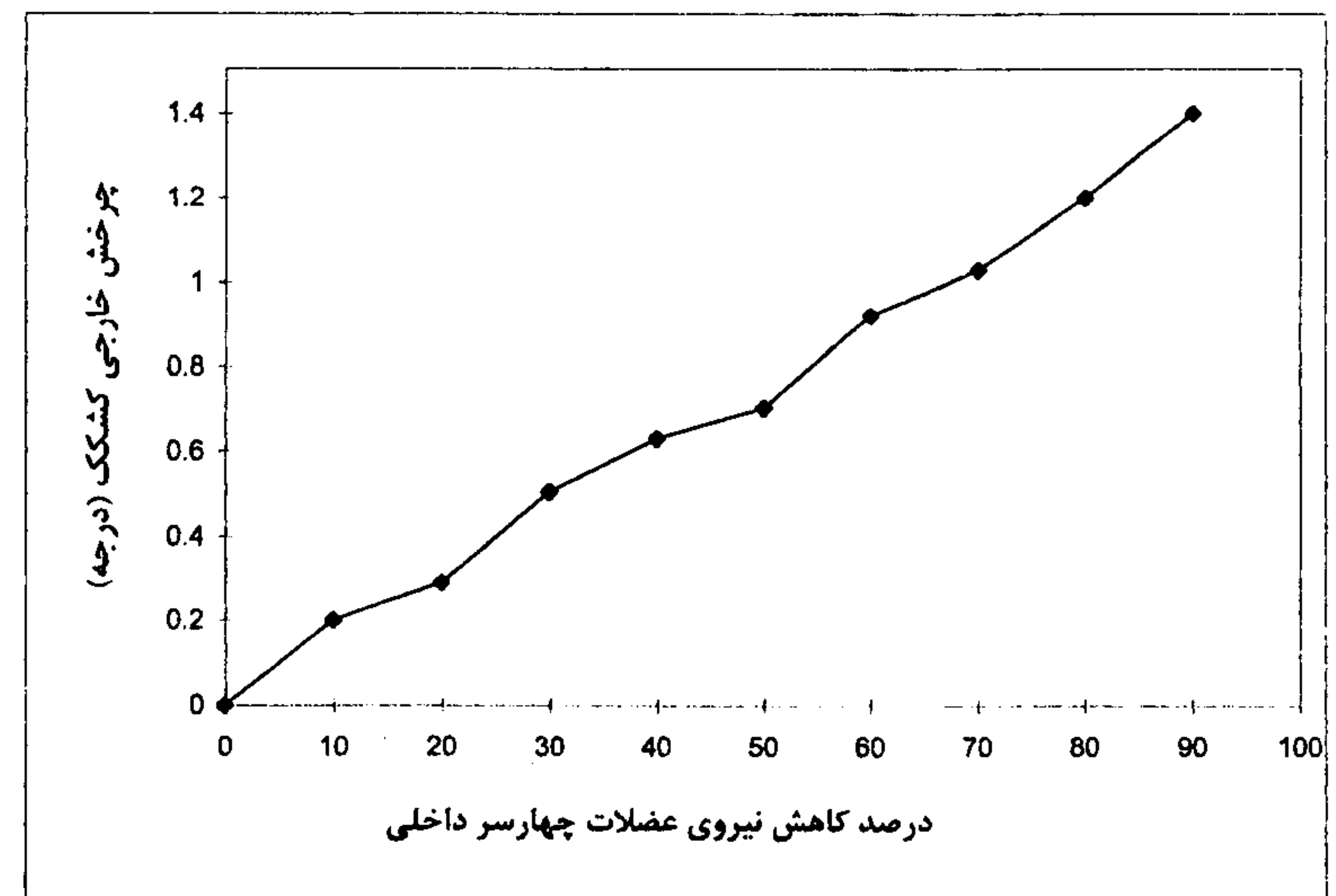
خرش آهسته (پاسخ ویسکوز در یک بازه زمانی طولانی) می باشد [۱۳]. مدلهایی که برای بررسی پاسخ ویسکوز ارائه شده اند به دو دسته کلی مدلهای تک فازی و مدلهای دو فازی تقسیم می شوند. در مدلهای تک فازی (مدلهای ویسکوالاستیک شبیه خطی) خواص خرسن و آسودگی تنش در غضروف شبیه سازی می شوند. در مقابل در مدلهای دو فازی، غضروف به صورت ماده ای متخلخل و نفوذپذیر، شامل ماتریسی از فیبرهای تقویت کننده و سیال بینابینی در نظر گرفته می شود که خواص مکانیکی آن ترکیبی از خصوصیات مکانیکی ماتریس حامد و اثرات روانکاری سیال بینابینی می باشد. چنانکه آزمایشات خرسن و آسودگی تنش نشان داده اند، جریان سیال بینابینی به دلیل نفوذ پذیری کم سیال، تنها در برده های زمانی در حد دقیقه در تغییر شکل غضروف مشارکت می کند [۱۳]. از سوی دیگر، مایع زلای در فرکانسهای بالا خصوصیات ویسکوز خود را از دست داده و بیشتر بصورت الاستیک عمل می نماید [۱۴]. از این رو در حین سیکل گام طبیعی که کل مرحله بارگذاری و باربرداری بر روی مفاصل در یک ثانیه اتفاق می افتد، می توان غضروف را بصورت یک ماده الاستیک در نظر گرفت و از خصوصیات ویسکوز آن صرفنظر نمود.



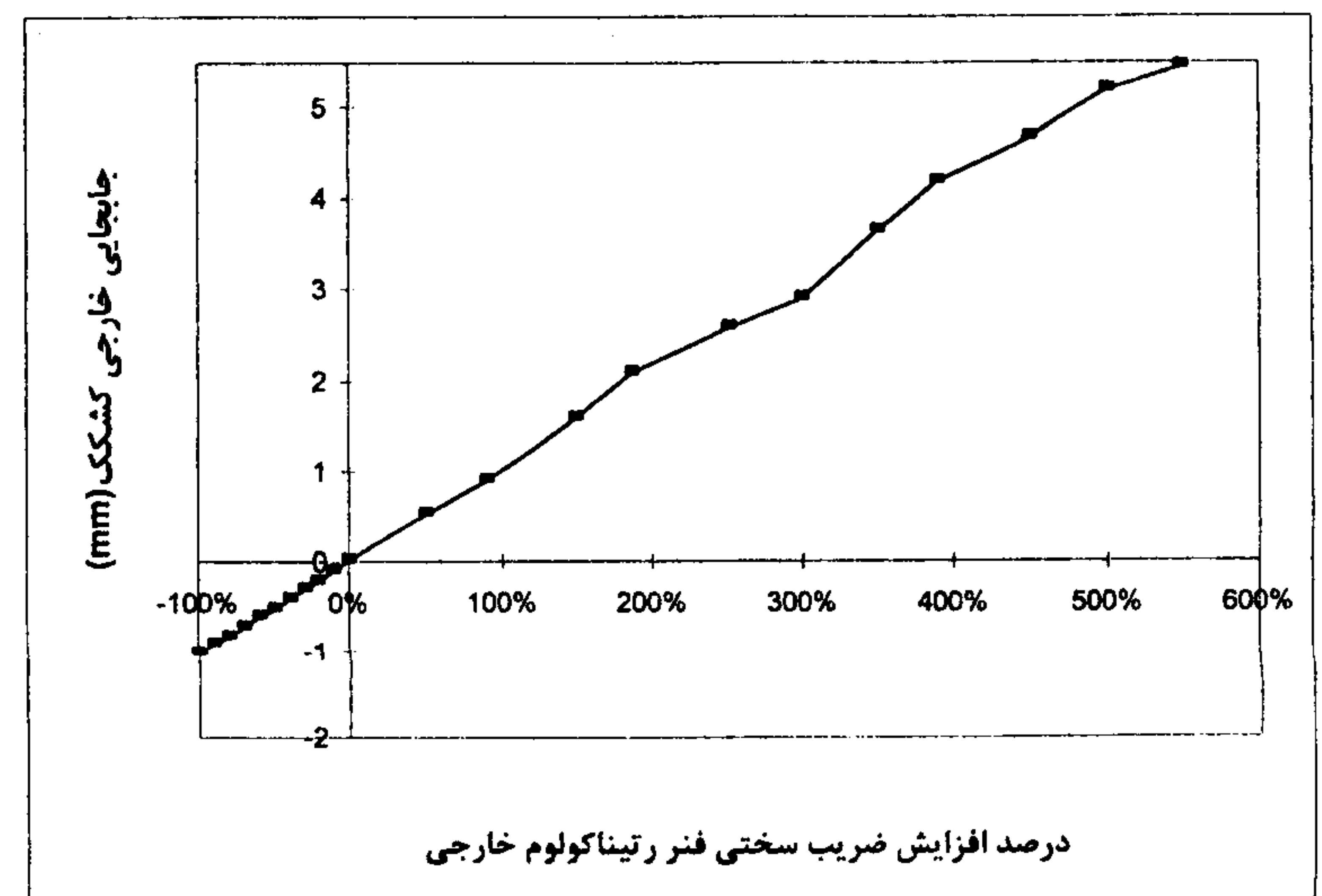
شکل ۶: اثر افزایش سختی بافت رتیناکولوم خارجی بر چرخش خارجی کشک.

به منظور ارزیابی اعتبار مدل، نتایج آن به ازاء شرایط

است. این امر در مدلسازی مفاصل همدیس با نواحی تماس بزرگ (مانند مفصل کشکی - رانی) از اهمیت بسیاری برخوردار است و عدم توجه به آن (فرض صلبیت سطوح تماسی) می تواند به نتایج غیر واقعی منجر گردد [۶].

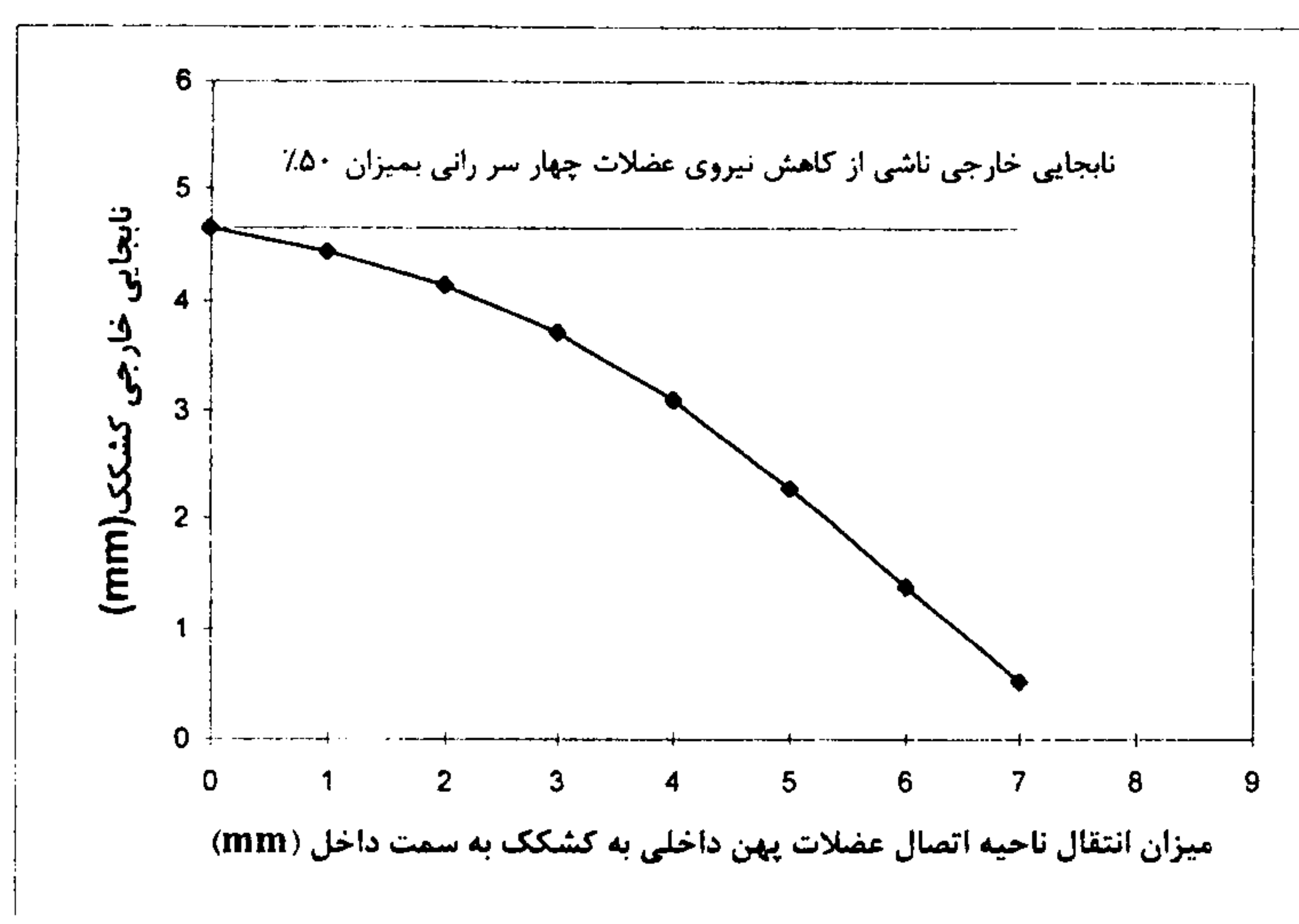


شکل ۴: اثر کاهش نیروی عضلات پهن بر چرخش خارجی کشک.



شکل ۵: اثر افزایش سختی بافت رتیناکولوم خارجی بر جابجایی خارجی کشک.

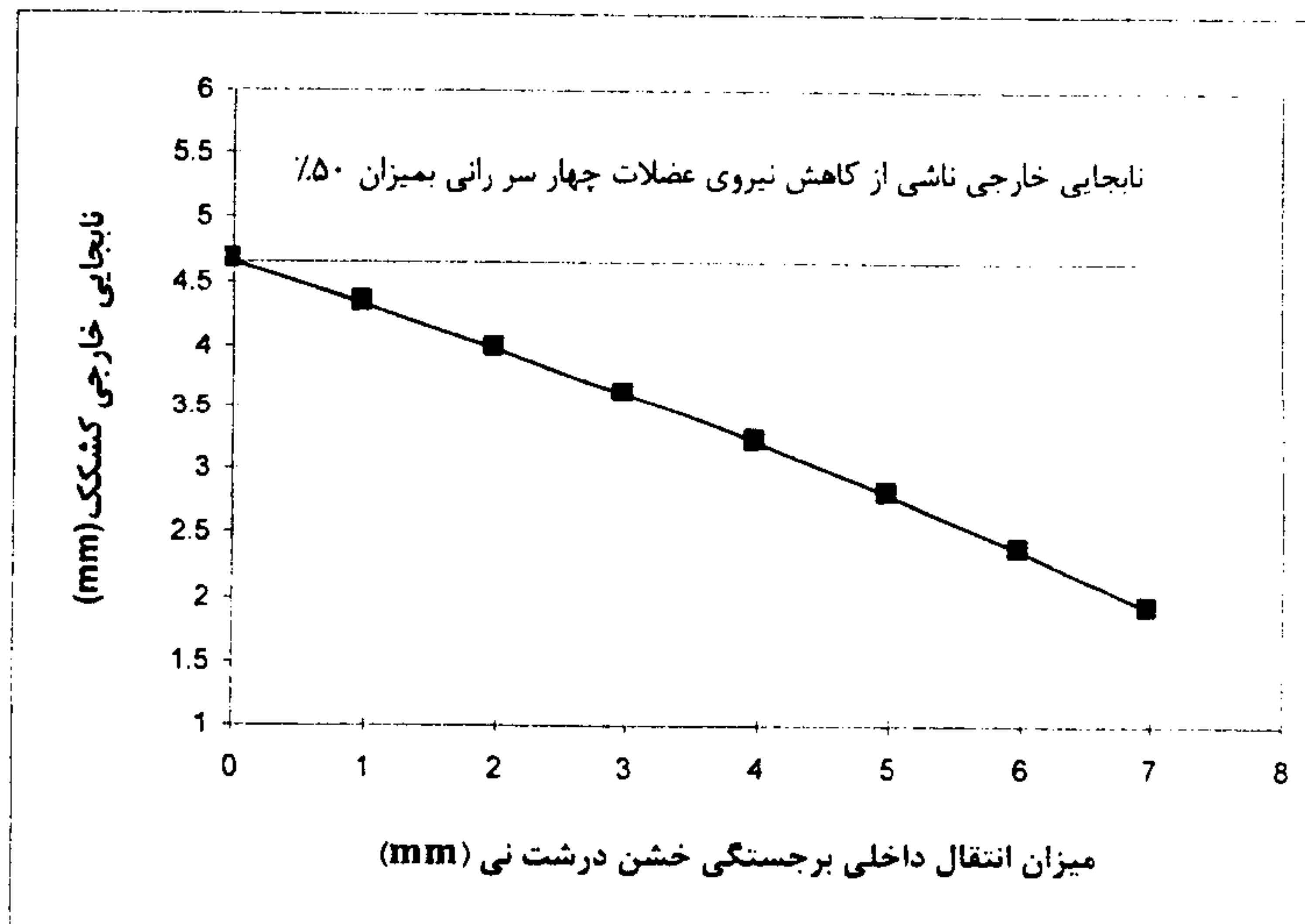
شبیه سازی عملکرد غضروف مفصلی توسط فنرهای الاستیک خطی نیازمند توجیه است. غضروف بطور کلی یک ماده ویسکوالاستیک است که پاسخ آن به اعمال ناگهانی یک نیروی استاتیک شامل یک مرحله فشرده شدن سریع (پاسخ الاستیک آنی) و سپس یک مرحله



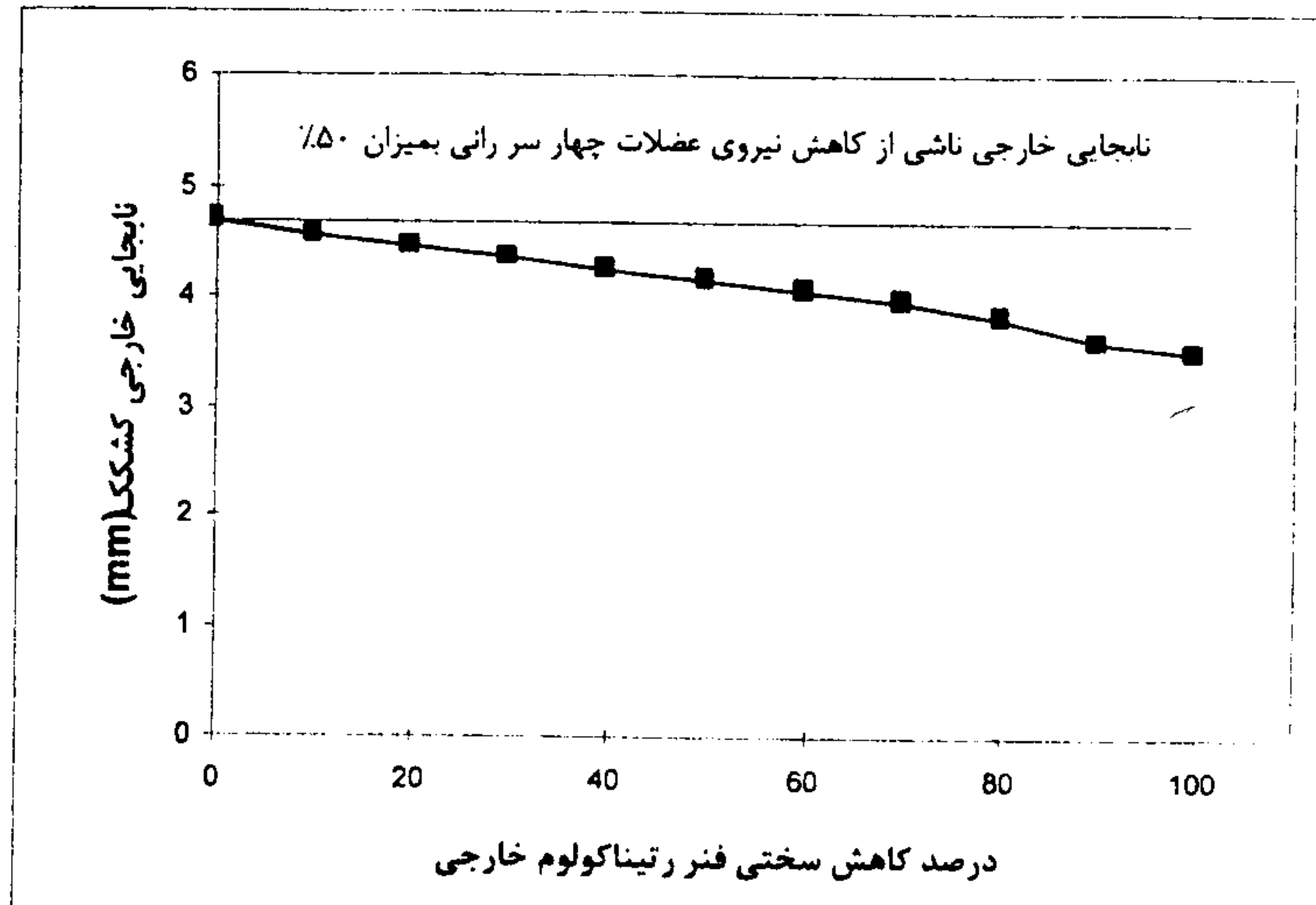
شکل ۹: تأثیر عمل جراحی انتقال خارجی ناحیه اتصال عضلات پهن داخلی به کشک بر بازگشت کشک به سمت داخل و اصلاح نابجایی ناشی از تضعیف عضلات پهن داخلی.

موضوعات متنوعی نظیر ناهنجاری در توزیع نیروی عضلات چهار سر، تقویت رتیناکولوم خارجی و تضعیف رتیناکولوم داخلی و نیز روش‌های درمانی جراحی شامل جابجایی داخلی محل اتصال تاندون کشک به درشت نی، رهایش بافت‌های خارجی و جابجایی خارجی محل اتصال عضلات داخلی به کشک، با استفاده از مدل مورد بررسی قرار گرفتند. حرکات جابجایی کشک در راستای داخلی - خارجی و چرخش آن در صفحه عرضی، که بیشترین تأثیر را بر چگونگی تماس سطوح غضروفی کشک و ران دارا می‌باشد [۹]، بعنوان شاخصهای پایداری مفصل کشکی-رانی ارزیابی شدند. نتایج حاصل از مدل نشان می‌دهند که توزیع نیرو در عضلات چهارسر تأثیر قابل ملاحظه‌ای بر جابجایی کشک در راستای داخلی - خارجی دارد ولی اثر آن بر روی چرخش کشک ناچیز است. بنظر میرسد تضعیف عضلات چهار سر داخلی را می‌توان از عوامل اصلی بیماری نابجایی کشک در نظر گرفت. از آنسوی حتی با کاهش نیروی عضلات داخلی بمیزان ۹۰٪ نیز جابجایی کشک سبب در رفتگی کامل آن نگردید. لذا می‌توان نتیجه گرفت که بیماری در رفتگی کشک نمی‌تواند صرفاً از تضعیف عضلات چهار سر داخلی ناشی شود و عوامل دیگری، مانند ناهنجاری

مشابه، با داده‌های آزمایشگاهی گزارش شده در مقالات مقایسه گردید. نتایج مقایسه حاکی از دقیقت قابل قبول مدل در پیش‌بینی حرکات مفصل می‌باشد. در شرایط مشابه با آزمایشات مرجع [۱۵]، کاهش نیروی عضلات چهارسر داخلی بمیزان ۷۵۰٪ سبب جابجایی خارجی کشک بمیزان ۲/۴ میلیمتر نسبت به حالت طبیعی گردید که مرجع مذبور این جابجایی را معادل ۴ میلیمتر گزارش کرده است. همچنین در شرایط مشابه با آزمایشات مرجع [۱۶]، قطع عضله سبب جابجایی خارجی کشک بمیزان ۴/۱ میلیمتر نسبت به حالت طبیعی گردید که مرجع مذبور این جابجایی را معادل ۴/۵-۵ میلیمتر گزارش کرده است.



شکل ۷: تأثیر عمل جراحی انتقال داخلی بر جستگی خشن درشت نی بر بازگشت کشک به سمت داخل و اصلاح نابجایی ناشی از تضعیف عضلات پهن داخلی.



شکل ۸: تأثیر عمل جراحی رهایش خارجی، بر بازگشت کشک به سمت داخل و اصلاح نابجایی ناشی از تضعیف عضلات پهن داخلی.

در میان روش‌های جراحی متداول برای درمان ناپایداری مفصل کشکی - رانی، کمترین تأثیر برای عمل جراحی رهایش بافت‌های رتیناکولوم خارجی و بیشترین تأثیر برای عمل جراحی انتقال ناحیه اتصال عضلات پهنه داخلی به کشک به سمت خارج مشاهده گردید. این نتایج با داده های حاصل از مطالعات آزمایشگاهی و کلینیکی انطباق کامل دارد [۱۷، ۲].

هنده سطوح مفصلی، نیز در آن مشارکت می کنند. تغییر خواص بافت‌های رتیناکولوم داخلی و خارجی نیز تأثیر قابل ملاحظه‌ای بر جابجایی خارجی و افزایش زاویه چرخش کشک دارد. اما مقایسه این تأثیر و اثرات حاصل از توزیع نیرو در عضلات چهار سر نشان میدهد که بیشترین تأثیر تضعیف یا تقویت بافت‌های رتیناکولوم در چرخش کشک، و نه جابجایی آن، ظاهر می شود.

مراجع

- 1 - Fox, J. M. and Del Pizzo, W. (1993). *The patellofemoral joint*, 2nd ed., McGraw-Hill, New York.
- 2 - Fulkerson J. P. and Hungerford D. S. (1990). *Disorders of the patellofemoral joint*, 2nd ed., Williams & Wilkins, Baltimore.
- 3 - Van Eijden, T. M. G., Kouwenhoven, E., Verburg, J. and Weijs, W. A. (1986). "A mathematical model of patellofemoral joint." *J. Biomech.*, Vol. 19, No. 3, PP. 219-229.
- 4 - Yamaguchi, G.T. and Zajac, F. E. (1989). "A planar model of the knee joint to characterize the knee extensor mechanism." *J. Biomech.*, Vol. 22, No. 1, PP. 1-10.
- 5 - Hirokawa, S. (1991). "Three dimensional mathematical model analysis of the patellofemoral joint." *J. Biomech.*, Vol. 24, No. 8, PP. 659-671.
- 6 - Hirokawa, S. (1992). "Effects of variation on extensor elements and operative procedures in patellofemoral disorders." *J. Biomech.*, Vol. 25, No. 12, PP. 1393-1401.
- 7 - Hefzy, M. S. and Yang, H. (1993). "A three-dimensional anatomical model of the human patellofemoral joint for determination of the patellofemoral motions and contact characteristics." *J. Biomed. Eng.*, Vol. 15, PP. 289-302.
- 8 - Heegaard, J., Leyvraz, P. F., Curnier, A., Rakotomanana, L. and Huiskes, R. (1995). "Biomechanics of the human patella during passive knee flexion." *J. Biomech.*, Vol. 28, No. 11, PP. 1265-1279.
- 9 - Amis, A. A. and Farahmand, F. (1996). "Extensor mechanism of the knee." *Cur. Orthop.*, Vol. 10, PP. 102-109.
- 10 - Farahmand, F., Senavongse, W. and Amis, A. A. (1998). "Quantitative study of the quadriceps muscles and trochlear groove geometry related to the instability of the patellofemoral joint." *J. Orthop. Res.*, Vol. 16, PP. 136-143.
- 11 - Glitsch, U. and Baumann, W. (1997). "The three-dimensional determination of internal loads in lower extremity." *J. Biomech.*, Vol. 30, No. 11, PP. 1123-1131.
- 12 - Conlan, T., Garth, W. P. and Lemons, J. E. (1993). "Evaluation of the medial soft-tissue restraints of the extensor mechanism of the knee." *J. Bone Joint Surg.*, Vol. 75A, No. 5, PP. 682-693.
- 13 - Eberhart, A. W., Keer, L. M., Lewis, J. L. and Vithoontien, V. (1990). "An analytical model of joint contact." *J. Biomed. Eng.*, Vol. 12, PP. 407-413.
- 14 - Fung, Y. C. (1981). *Biomechanics: Mechanical properties of living tissues*. Springer-Verlag, New York.

- 15 - Ahmed, A. M., Shi, S., Hyder, A. and Chan, K.H. (1988). "The effect of quadriceps tension characteristics on the patellar tracking pattern." *Trans. Orthop. Res. Soc.*, Vol. 34, P. 238.
- 16 - Goh, J. C. H., Lee, P. Y. C. and Bose, K. (1995). "A cadaver study of the function of the oblique part of vastus medialis." *J. Bone Joint Surg.*, Vol. 77B, No. 2, PP. 682-693.
- 17 - Farahmand, F. and Tahmasbi M. N. (1999). "A biomechanical study of lateral release and Elmslie-Trillat procedures to restabilise the maltracking patella." *Acta Medica Iranica*, Vol. 37, No. 4, PP. 227-231.

واژه های انگلیسی به ترتیب استفاده در متن

- 1 – Subluxation
- 2 – Dislocation
- 3 – Lateral Patellar Compression Syndrome
- 4 – Quadriceps
- 5 – Retinaculum
- 6 – Lateral release
- 7 – Tibial Tuberclle Medialization
- 8 – Vastus Medialis Plasty
- 9 – Sagittal
- 10 – Transverse Plane
- 11 – Hirokawa
- 12 – Patellar Shift
- 13 – Patellar Tilt